



$$\begin{cases} L_i = R_{i-1} \oplus F(L_{i-1} \oplus K_i) \\ R_i = L_{i-1} \end{cases}$$

其中,轮函数  $F$  将  $(X_1, X_3, X_2, X_1)$  映射为  $(Y_4, Y_3, Y_2, Y_1)$ , 具体定义如下:

$$\begin{cases} Y_1 = S(X_1 \oplus X_2 \oplus X_3 \oplus X_4) \\ Y_2 = S(X_1) \\ Y_3 = S(X_1 \oplus X_2) \\ Y_4 = S(X_1 \oplus X_2 \oplus X_3) \end{cases}$$

$S$  为有限域上的逆函数,定义如下:

$$S(x) = \begin{cases} x^{-1}, & x \neq 0 \\ 0, & x = 0 \end{cases}$$

本文不考虑密钥扩展算法的影响,因此这里不详细介绍密钥扩展算法,相关细节请参见文献[7].

### 3 SNAKE(2)算法的6轮区分器

2010年,张鹏等给出了 Zodiac 算法的4种等价结构。2014年,刘青等利用其中的一个等价结构对 Zodiac 算法进行了碰撞攻击并取得了比较好的攻击结果。由于 SNAKE(2)算法与 Zodiac 算法结构相同,也属于 KPS 型 Feistel 密码,因此可得到 SNAKE(2)算法与 Zodiac 算法相同的4种等价结构。本文利用文献[6]中对 Zodiac 算法进行碰撞攻击所构造的区分器用到的等价结构来构造 SNAKE(2)算法的6轮区分器。

由于 SNAKE(2)算法轮函数的具体结构为  $K \rightarrow P \rightarrow S$  型,设轮函数的输入为  $A$ ,则其输出为:

$$F(A) = S(P(A \oplus K)) = S(P(A) \oplus P(K)) = S(P(A) \oplus K')$$

其中,  $K' = P(K)$ 。此时,可以将轮函数的原结构看为  $P \rightarrow K \rightarrow S$  型(这里也用  $K$  来记以上的等价密钥  $K'$ )。

利用上述等价结构构造 SNAKE(2)算法的6轮区分器,以下是 SNAKE(2)算法6轮区分器的详细计算过程:

$$\text{令 } L_{i-1} \text{ 和 } R_{i-1} \text{ 为第 } i \text{ 轮 SNAKE(2) 的输入,选取 } L_0 = (c_8, c_7, c_6, c_5), R_0 = (x, x, c_2, c_1)$$

其中,变量  $x$  取自  $F_2^8$ ,且取相同的值进行遍历,  $c_i \in F_2^8 (i=1, 2, 5, 6, 7, 8)$  表示任意选定的常值字节。

第一轮的输出为:

$$\begin{aligned} L_1 &= (x \oplus a_4, x \oplus a_3, a_2, a_1) \\ R_1 &= L_0 = (c_8, c_7, c_6, c_5) \end{aligned}$$

其中,  $a_i (1 \leq i \leq 4)$  仅和  $c_i (i=1, 2, 5, 6, 7, 8)$  及轮密钥  $K_1$  有关,因此在密钥取定时,  $a_i$  均是常数。

令  $y = S(x \oplus a_3 \oplus a_2 \oplus a_1 \oplus K_{2,1}) = S(x \oplus a_0)$ , 第二轮的输出为:

$$\begin{aligned} L_2 &= (y \oplus c_8, b_3, b_2, b_1) \\ R_2 &= L_1 = (x \oplus a_4, x \oplus a_3, a_2, a_1) \end{aligned}$$

其中,  $b_i (1 \leq i \leq 3)$  仅和  $a_i (1 \leq i \leq 4), c_i (5 \leq i \leq 7)$  及轮密钥  $K_2$  有关,因此在密钥取定的情况下,  $b_i$  均是常数。

令  $z = S(y \oplus c_8 \oplus b_3 \oplus b_2 \oplus b_1 \oplus K_{3,4}) = S(y \oplus d_0)$ , 则第三轮的输出为:

$$\begin{aligned} L_3 &= (x \oplus d_4, x \oplus d_3, d_2, z \oplus a_1) \\ R_3 &= L_2 = (y \oplus c_8, b_3, b_2, b_1) \end{aligned}$$

其中,  $d_i (2 \leq i \leq 4)$  仅和  $b_i (1 \leq i \leq 3), a_i (2 \leq i \leq 4)$  及轮密钥  $K_3$  有关,因此在密钥取定的情况下,  $d_i$  均是常数。

第四轮的输出为:

$$\begin{aligned} L_4 &= (\Delta, \Delta, \Delta, S(z \oplus d_4 \oplus d_3 \oplus d_2 \oplus a_1 \oplus K_{4,4}) \oplus b_1) \\ &= (\Delta, \Delta, \Delta, S(z \oplus c_0) \oplus b_1) \end{aligned}$$

$$R_4 = L_3$$

其中,  $\Delta$  表示本文不关心的字节,下同。

第五轮的输出为:

$$L_5 = (\Delta, \Delta, S(S(z \oplus c_0) \oplus d_0) \oplus d_2, \Delta) = (\Delta, \Delta, u, \Delta)$$

$$R_5 = L_4$$

其中,  $d_0$  仅和  $b_1, K_{5,3}$  有关,因此在密钥取定的情况下,  $d_0$  是常数。

此时,第六轮输出的右半部分为:

$$R_6 = L_5 = (\Delta, \Delta, u, \Delta)$$

具体的6轮区分器如表1所列。

表1 SNAKE(2)算法的6轮区分器

L    R	L	R
$L_0    R_0$	$c_8, c_7, c_6, c_5$	$x, x, c_2, c_1$
$L_1    R_1$	$x \oplus a_4, x \oplus a_3, a_2, a_1$	$c_8, c_7, c_6, c_5$
$L_2    R_2$	$y \oplus c_8, b_3, b_2, b_1$	$x \oplus a_4, x \oplus a_3, a_2, a_1$
$L_3    R_3$	$x \oplus d_4, x \oplus d_3, d_2, z \oplus a_1$	$y \oplus c_8, b_3, b_2, b_1$
$L_4    R_4$	$\Delta, \Delta, \Delta, S(z \oplus c_0) \oplus b_1$	$x \oplus d_4, x \oplus d_3, d_2, z \oplus a_1$
$L_5    R_5$	$\Delta, \Delta, u, \Delta$	$\Delta, \Delta, \Delta, S(z \oplus c_0) \oplus b_1$
$L_6    R_6$	$\Delta, \Delta, \Delta, \Delta$	$\Delta, \Delta, u, \Delta$

**性质** 令明文输入形如  $(c_8, c_7, c_6, c_5, x, x, c_2, c_1)$ , 其中  $c_i \in F_2^8 (i=1, 2, 5, 6, 7, 8)$  表示任意选定的常值字节,  $x$  表示变量且取相同的值进行遍历。如果明文输入仅有  $x$  不同,其余参数字节均相同,将此明文加密6轮,得到  $R_{6,2}$  是两两互异的字节。

证明:因为 SNAKE(2)算法的  $S$  盒是双射,所以当  $x$  取不同值且其余参数字节均相同时,  $y = S(x \oplus a_3 \oplus a_2 \oplus a_1 \oplus K_{2,1}) = S(x \oplus a_0)$  也互不相同;进一步可知  $z = S(y \oplus d_0)$  也取不同的值,所以  $R_{6,2} = u = S(S(z \oplus c_0) \oplus d_0) \oplus d_2$  是两两互异的字节。

### 4 对7/8/9轮 SNAKE(2)算法的碰撞攻击

原结构中的轮函数为  $K \rightarrow P \rightarrow S$  型结构,验证猜测密钥时,密钥后面有  $P$  置换进行扩散,因此会使复杂度大大增加。如果采用等价的  $P \rightarrow K \rightarrow S$  型结构,则每个字节均可单独验证相应的密钥字节。因此,在攻击时将  $K \rightarrow P \rightarrow S$  型结构等价成  $P \rightarrow K \rightarrow S$  型结构,会使复杂度大大降低。

#### 4.1 对7轮 SNAKE(2)算法的碰撞攻击

利用6轮区分器对7轮到9轮的 SNAKE(2)算法进行碰撞攻击,7轮攻击的具体过程如图2所示。

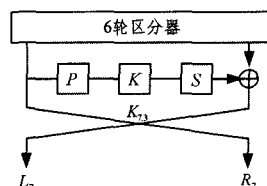


图2 SNAKE(2)算法的7轮攻击

第1步 选取58个明文  $P_i (1 \leq i \leq 58)$ , 使得  $P_i = (c_8,$

$c_7, c_6, c_5, x_i, x_i, c_2, c_1$ )。其中,  $c_i \in F_2^8 (i=1, 2, 5, 6, 7, 8)$  表示任意选定的常值字节,  $x_i$  取自  $F_2^8$ , 且取相同的值进行遍历, 相应的密文记为  $Ci (1 \leq i \leq 58)$ 。

第 2 步 猜测  $K_{7,3}$ , 对密文集合进行解密, 得到  $R_{6,2}$  的 58 个值  $Ri_{6,2} (1 \leq i \leq 58)$ 。检查这些值是否有碰撞, 如果有, 则丢弃相应的候选密钥; 否则, 输出相应的候选密钥。

第 3 步 对第 2 步输出的候选密钥, 选择其他的明文, 重复第 2 步, 直到输出值唯一。

根据碰撞攻击的概率统计模型可知, 部分解密 58 个密文得到对应的  $Ri_{6,2} (1 \leq i \leq 58)$  产生碰撞的概率大于  $1 - e^{-58 \times 57/2^9} > 1 - 2^{-9}$ , 因此, 第 2 步输出错误子密钥的概率小于  $2^{-9}$ 。因为正确密钥肯定通过, 而  $2^8 - 1$  个错误密钥中通过碰撞检测的个数平均为  $(2^8 - 1) \times 2^{-9} \approx 0.5$ , 故通过检测的候选密钥的个数约为 1.5, 因此, 第 3 步只需几个明文即可。综上, 攻击需  $2^6$  个选择明文, 攻击的时间复杂度主要是由第 2 步根据猜测密钥进行部分解密运算决定的, 由于一次部分解密需要计算 1 个 S 盒, 因此攻击的时间复杂度约为  $58 \times 2^8 / (7 \times 4) \approx 2^{9.05}$ 。

#### 4.2 对 8 轮 SNAKE(2) 算法的碰撞攻击

8 轮攻击是在 7 轮攻击的基础上, 在算法的后面再加上一轮。为部分解密得到  $R_{6,2}$ , 需要猜测密钥  $K_{7,3}$  和  $K_{8,4}$ 。这里选取 80 个明文, 相应的密文记为  $Ci (1 \leq i \leq 80)$ 。部分解密 80 个密文, 得到对应的  $Ri_{6,2} (1 \leq i \leq 80)$ , 它们产生碰撞的概率大于  $1 - e^{-80 \times 79/2^9} > 1 - 2^{-17}$ , 因此, 第 2 步输出错误子密钥的概率小于  $2^{-17}$ 。而  $2^{16} - 1$  个错误密钥中通过碰撞检测的个数平均为  $(2^{16} - 1) \times 2^{-17} \approx 0.5$ , 故通过检测的候选密钥的个数约为 1.5, 因此, 第 3 步只需几个明文即可。综上, 攻击需  $2^{6.52}$  个选择明文, 由于一次部分解密需要计算 2 个 S 盒, 因此攻击的时间复杂度约为  $80 \times 2^{16} \times 2 / (8 \times 4) \approx 2^{18.32}$ 。

#### 4.3 对 9 轮 SNAKE(2) 算法的碰撞攻击

9 轮攻击是在 8 轮攻击的基础上, 在算法的前面再加上一轮, 需要额外猜测一个字节的密钥, 即猜测的密钥为  $K_{1,1}$ 、 $K_{8,3}$  和  $K_{9,4}$ , 攻击具体步骤如下。

第 1 步 对  $K_{1,1}$  的每个候选值  $t$ , 选取 96 个明文  $Pi^t = (Li_i^t, Ri_i^t) (1 \leq i \leq 96)$ , 形如:

$$Pi^t = (Li_i^t, Ri_i^t) \\ = (x_i, x_i, c_2, c_1, S(x_i \oplus c_0 \oplus K_{1,1}) \oplus c_8, a_7, a_6, a_5)$$

其中,  $a_i (5 \leq i \leq 7)$  仅与  $c_i (i=5, 6, 7)$  及轮密钥  $K_1$  有关, 因此在密钥取定时,  $a_i$  均是常数,  $c_0 = c_1 \oplus c_2$  也是常数, 字节  $x_i$  满足  $0 \leq x_i \leq 255$ 。将这些明文加密 9 轮后相应的密文记为  $Ci_i^t = (Li_i^t, Ri_i^t)$ 。

第 2 步 猜测  $K_{8,3}$  和  $K_{9,4}$ , 对  $(t, K_{8,3}, K_{9,4})$  的每个候选值, 解密得到  $R_{7,2}$  的 96 个值  $Ri_{7,2} (1 \leq i \leq 96)$ 。检查这些值是否有碰撞, 如果有, 则丢弃相应的  $(t, K_{8,3}, K_{9,4})$ ; 否则, 输出相应的  $(t, K_{8,3}, K_{9,4})$  值。

第 3 步 对第 2 步输出的每个  $(t, K_{8,3}, K_{9,4})$  值, 选择其他的明文, 重复第 2 步, 直到输出的值是唯一的。

根据碰撞攻击的概率统计模型可知, 部分解密 96 个密文得到对应的  $Ri_{7,2} (1 \leq i \leq 96)$  产生碰撞的概率大于  $1 - e^{-96 \times 95/2^9} > 1 - 2^{-25}$ , 故, 第 2 步输出错误子密钥的概率小于

$2^{-25}$ 。因为正确密钥肯定通过, 而  $2^{24} - 1$  个错误密钥中通过碰撞检测的个数平均为  $(2^{24} - 1) \times 2^{-25} \approx 0.5$ , 故通过检测的候选密钥的个数约为 1.5, 因此, 第 3 步只需几个明文即可。综上, 攻击需  $2^7$  个选择明文, 因此该 9 轮攻击的数据复杂度为  $2^7 \times 2^8 = 2^{15}$ , 时间复杂度约为  $96 \times 2^8 \times 2^{16} \times 2 / (9 \times 4) \approx 2^{26.42}$ 。

SNAKE(2) 算法 7、8、9 轮碰撞攻击的复杂度如表 2 所列。

表 2 SNAKE(2) 算法不同轮数碰撞攻击的复杂度

攻击方法	轮数	时间复杂度	数据复杂度	预计算复杂度	文献
中间相遇	7	$2^6$	7	$2^{32}$	[11]
Square 攻击	7	$2^{12.19}$	$2^9$	—	[12]
碰撞攻击	7	$2^{9.05}$	$2^6$	—	本文
中间相遇	8	$2^{14}$	8	$2^{32}$	[11]
Square 攻击	8	$2^{21.59}$	$2^9.59$	—	[12]
碰撞攻击	8	$2^{18.32}$	$2^6.52$	—	本文
中间相遇	9	$2^{22}$	$2^{11.2}$	$2^{32}$	[11]
Square 攻击	9	$2^{30.41}$	$2^{10}$	—	[12]
碰撞攻击	9	$2^{26.42}$	$2^{15}$	—	本文

结束语 本文对 SNAKE(2) 算法抵抗碰撞攻击的能力进行了评估, 基于 SNAKE(2) 算法的等价结构构造了一个 6 轮区分器, 并给出了 7 至 9 轮的攻击过程和相应的复杂度。表 2 列出了本文方法与其他方法的攻击结果比较, 对于 7 轮和 8 轮 SNAKE(2) 算法的攻击, 本文在数据复杂度和时间复杂度方面均优于文献 [12] 给出的 Square 攻击; 对 9 轮 SNAKE(2) 算法的攻击, 本文在时间复杂度方面也优于 Square 攻击。由于计算复杂度与时间复杂度是等价的, 因此与中间相遇攻击相比, 本文攻击不仅不需要预计算复杂度, 而且计算复杂度还优于其预计算复杂度。

#### 参考文献

- [1] Gilbert H, Minier M. A collision attack on 7 rounds of Rijndael [EB/OL]. 2012-10-10. <http://csrc.nist.gov/archive/aes/round2/conf3/papers/11-hgilbert.pdf>
- [2] Daemen J, Rijmen V. The block cipher Rijndael[C]//Proceedings of the Third International Conference (CARDIS'98). Berlin: Springer-Verlag, 2000: 277-284
- [3] Wu W L, Feng D G. Collision attack on reduced-round Camellia [J]. Science in China, Series F, 2004, 48(1): 78-90
- [4] 吴文玲, 卫宏儒. 低轮 FOX 分组密码的碰撞-积分攻击[J]. 电子学报, 2005, 33(7): 1307-1310  
Wu Wen-ling, Wei Hong-ru. Collision-Integral Attack of Reduced-Round FOX [J]. Acta Electronica Sinica, 2005, 33(7): 1307-1310
- [5] 韩敬, 张文英, 徐小华. 对低轮 CLEFIA 分组密码的碰撞-Square 攻击[J]. 电子学报, 2009, 37(10): 2309-2313  
Han Jing, Zhang Wen-ying, Xu Xiao-hua. Collision-Square Attacks on the Reduced-Round CLEFIA [J]. Acta Electronica Sinica, 2009, 37(10): 2309-2313
- [6] 刘青, 卫宏儒, 潘伟. Zodiac 算法的碰撞攻击[J]. 计算机应用, 2014, 34(1): 73-77  
Liu Qing, Wei Hong-ru, Pan Wei. Collision attack on Zodiac

algorithm[J]. Journal of Computer Applications, 2014, 34(1): 73-77

[7] Lee C, Cha Y. TheBlock Cipher: SNAKE with Provable Resistance against DC and LC attacks 1997[C]//Proceedings of 1997 Korea-Japan Joint Workshop on Information Security and Cryptology(JWISC'97). 1997; 3-17

[8] Moriai S, Shimoyama T, Kaneko T. Interpolation attacks of the Block Cipher: SNAKE[C]//Proc of Fast Software Encryption. 1999; 275-289

[9] Sun Bing, Qu Long-jiang, Li Chao. Impossible Differential Cryptanalysis of SNAKE[C]//Procof NSWCT'09. 2009; 63-66

[10] 张鹏, 孙兵, 李超. 对特殊类型 Feistel 密码的 Square 攻击[J]. 国防科技大学学报, 2010, 32(4): 137-140

Zhang Peng, Sun Bing, Li Chao. Square Attack on Some Special Feistel Ciphers[J]. Journal of National University of Defense Technology, 2010, 32(4): 137-140

[11] 魏悦川, 孙兵, 李超. 对简化轮数的 SNAKE(2)算法的中间相遇攻击[J]. 计算机工程与科学, 2012, 34(6): 28-31

Wei Yue-chuan, Sun Bing, Li Chao. A Meet-in-the-Middle Attack on Reduced-Round SNAKE(2)[J]. Computer Engineering and Science, 2012, 34(6): 28-31

[12] 郑雅菲, 卫宏儒. SNAKE(2)算法新的 Square 攻击[J]. 计算机科学, 2014, 41(3): 169-171

Zheng Ya-fei, Wei Hong-ru. New Square Attack on SNAKE(2)[J]. Computer Science, 2014, 41(3): 169-171

(上接第 146 页)

$|R_{1,-1}|, |R_0| + |R_2| + |R_4|, |R_{1,1}|, |R_{3,1}|$  次。下面给出  $|R_i|$  ( $i=0, 1, 2, 3, 4$ ) 的具体值。

根据引理 4 关于指数和的结果, 有以下 4 个等式:

$$|R_0| + |R_2| + |R_4| + |R_{1,1}| + |R_{1,-1}| + |R_{3,1}| + |R_{3,-1}| = p^m - 1$$

$$p^{\frac{m+\epsilon}{2}} (|R_{1,1}| - |R_{1,-1}|) + p^{\frac{m+3\epsilon}{2}} (|R_{3,1}| - |R_{3,-1}|) = p^m$$

$$p^{m+\epsilon} (|R_{1,1}| + |R_{1,-1}|) + p^{m+3\epsilon} (|R_{3,1}| + |R_{3,-1}|) = p^{2m}$$

$$p^{\frac{3(m+\epsilon)}{2}} (|R_{1,1}| - |R_{1,-1}|) + p^{\frac{3(m+3\epsilon)}{2}} (|R_{3,1}| - |R_{3,-1}|) = p^{2m+(3k,m)}$$

根据以上等式, 引理 5 和定理 3 的结论, 可以求出

$$|R_{1,-1}| = p^{m-\epsilon-1} - p^{2\epsilon-1} (a_{n-2} - |R_4|) - \frac{p^{\frac{m+3\epsilon}{2}} - p^{\frac{m-3\epsilon}{2}+(3k,m)}}{p^{2\epsilon+1}-2}$$

$$|R_{1,1}| = p^{m-\epsilon-1} - p^{2\epsilon-1} (a_{n-2} - |R_4|) + \frac{p^{\frac{m+3\epsilon}{2}} - p^{\frac{m-3\epsilon}{2}+(3k,m)}}{p^{2\epsilon+1}-2}$$

$$|R_0| + |R_2| + |R_4| = 2^m - 1 - 2^{m-\epsilon} + (2^{2\epsilon} - 1) a_{n-2} + (1 - 2^{2\epsilon}) |R_4|$$

$$|R_{3,-1}| = \frac{a_{n-2} - |R_4|}{2} - \frac{p^{\frac{m-3\epsilon}{2}+(3k,m)} - p^{\frac{m-\epsilon}{2}}}{p^{3\epsilon+1} - p^{\epsilon+1}}$$

$$|R_{3,1}| = \frac{a_{n-2} - |R_4|}{2} + \frac{p^{\frac{m-3\epsilon}{2}+(3k,m)} - p^{\frac{m-\epsilon}{2}}}{p^{3\epsilon+1} - p^{\epsilon+1}}$$

其中,  $|R_4|$  和  $a_{n-2}$  如式(4)和式(5)所示。

**结束语** 当  $p$  为奇素数,  $k$  为偶数且  $m$  序列的级数  $m = 6s + 3$  时, 本文对采样因子为  $d = (p^{2k} + 1)/(p^k + 1)$  的  $m$  序列互相关函数进行了研究。避免了传统的求解有限域上多元高次方程的方法, 利用有限域上二次型理论, 证明了其互相关数值为五值。通过引入矩阵结合方案, 把对互相关值分布问题的研究转化为对二次型秩之间关系的研究, 最终得出了该类  $p$  元  $m$  序列之间五值互相关函数的完整分布。

### 参考文献

[1] Golomb S W. Theory of transformation groups of polynomials over GF(2) with applications to linear shift register sequences [J]. Information Sciences, 1968(1): 87-109

[2] Kang J W, Whang Y, Ko H B, et al. Generalized Cross-Correlation Properties of Chu Sequences[J]. IEEE Transactions on In-

formation Theory, 2012, 58(1): 438-444

[3] Dobbertin H, Felke P, Hellesteth T, et al. Binary m-sequences with three-valued cross correlation: a proof of Welch's conjecture[J]. IEEE Transactions on Information Theory, 2000, 46(1): 4-8

[4] Dobbertin H, Felke P, Hellesteth P, et al. Niho type cross-correlation functions via Dickson polynomials and Kloosterman sums [J]. IEEE Transactions on Information Theory, 2006, 52(2): 613-627

[5] Kasami T. The weight enumerators for several classes of subcodes of the second order binary Reed-Muller codes[J]. Information and Control, 1971, 18(4): 369-394

[6] Dobbertin H. Another proof of Kasami's theorem[J]. Designs, Codes and Cryptography, 1999, 17(1): 177-180

[7] Johansen A, Hellesteth T. A family of m-sequences with five-valued cross correlation [J]. IEEE Transactions on Information Theory, 2009, 55(2): 880-887

[8] Johansen A, Hellesteth T, Kholosha A. Further results on m-sequences with five-valued cross correlation[J]. IEEE Transactions on Information Theory, 2009, 55(12): 5792-5802

[9] Bracken C. Designs, Codes, Spin Models and the Walsh Transform[D]. Nat. Univ. Ireland(NUI), Ma, 2004

[10] Hellesteth T, Gong G. New Nonbinary Sequences With Ideal Two-Level Autocorrelation[J]. IEEE Transactions on Information Theory, 2002, 48(11): 2868-2872

[11] Tang X H, Udaya P, Fan P Z. A New Family of Nonbinary Sequences With Three-Level Correlation Property and Large Linear Span[J]. IEEE Transactions on Information Theory, 2005, 51(8): 2906-2914

[12] Gong G, Hellesteth T, Hu H G. A Three-Valued Walsh Transform From Decimations of Hellesteth-Gong Sequences[J]. IEEE Transactions on Information Theory, 2012, 58(2): 1158-1162

[13] Hellesteth T. Some results about the cross-correlation function between two maximal linear sequences[J]. Discrete Mathematics, 1976, 16(3): 209-232

[14] Delsarte P, Goethals J M. Alternating bilinear forms over GF(q) [J]. Journal of Combinatorial Theory, Series A, 1975, 19: 26-50

[15] Egawa Y. Association schemes of quadratic forms[J]. Journal of Combinatorial Theory, Series A, 1985, 38: 1-14